

## Метод управления движением гексакоптера в трехмерной среде с препятствиями на базе динамических отталкивающих сил

*А.Е.Кульченко, В.С.Лазарев, М.Ю.Медведев*

*Южный федеральный университет, Таганрог*

**Аннотация:** В статье предлагается метод формирования динамических репеллеров при управлении движением беспилотных летательных аппаратов в трехмерных средах с препятствиями. В качестве летательного аппарата рассматривается гексакоптер Erle-NexaCopter. Статья содержит краткое описание математической модели гексакоптера и позиционно-траекторных алгоритмов управления движением. В статье был предложен, проанализирован и промоделирован в среде Matlab метод, базирующийся на представлении препятствий динамическими репеллерами. Рассмотрены случаи с одним или несколькими неподвижными препятствиями, результаты моделирования приведены. В заключении сформулированы выявленные особенности разработанного метода.

**Ключевые слова:** гексакоптер, неформализованная среда, обход препятствий, управление движением, репеллер, подвижный объект.

### Введение

На сегодняшний день актуально использование беспилотных летательных аппаратов (БПЛА) для решения широкого круга задач [1]. При этом, повышение автономности БПЛА в условиях неопределенной среды требует разработки новых методов управления движением. В данном исследовании решается задача движения одиночного летального аппарата к цели в неопределенной трехмерной среде с препятствиями, расположение которых заранее не известно. Для решения этой задачи используется метод планирования траектории, базирующийся на использовании динамических репеллеров, который был предложен в работах [2, 3] для двумерных сред. В данной статье метод расширен для использования в трехмерном пространстве, что сделало возможным его применение для летательных аппаратов.

В настоящий момент разрабатывается большое число различных видов БПЛА[4]. Например, достаточно часто объектом исследования зарубежных [5-7] и отечественных [8, 9] ученых выступает квадрокоптер. В работе [10],

объектом исследований является гексакоптер, который отличается от квадрокоптера количеством и расположением двигателей, что должно быть учтено в системе управления движением. Гексакоптер обладает большей надежностью и грузоподъемностью по сравнению с квадрокоптером, что говорит об актуальности исследования БПЛА данного вида.

### 1 Математическая модель гексакоптера

Внешний вид гексакоптера Erly-Hexacopterdrone представлен на рис. 1, его параметры представлены в таблице № 1.

Таблица № 1

Параметры Erly-HexaCopterdrone

Параметр	Значение
Масса, кг	1.078
Диаметр гексакоптера, м	0.55
Масса полезной нагрузки, кг	до 2.5
Масса подвеса, кг	0.2
Максимальная скорость полета, м/с	3

Гексакоптер снабжен подвесом среднего размера для крепления различного оборудования. В зависимости от устанавливаемого оборудования, вес и габариты автономного комплекса на базе гексакоптера могут изменяться.

Для описания движения гексакоптера применяются две системы координат (рис.1). Первая из таких систем – неподвижная система отсчета  $K^0$  (с осями  $O^0X^0$ ,  $O^0Y^0$ ,  $O^0Z^0$ ), связанная с некоторой точкой на земной поверхности. Эта система называется земной системой координат. Её взаимно перпендикулярные оси  $O^0X^0$  и  $O^0Z^0$  располагаются в

горизонтальной плоскости, а ось  $O^0Y^0$  перпендикулярно к ним и направлена вертикально вверх относительно поверхности земли, как плоскости.

Вторая система координат  $K$  (с осями  $OX$ ,  $OY$ ,  $OZ$ ) жестко связывается с телом гексакоптера. Поэтому ее называют связанной, или системой координат корпуса гексакоптера. Её начало совмещено с положением центра тяжести гексакоптера  $O$ . Ось  $OX$  направляется вдоль продольной оси симметрии гексакоптера в его нос, а оси  $OY$  и  $OZ$  в перпендикулярных к оси  $OX$  вертикальной и горизонтальной плоскостях симметрии корпуса гексакоптера.

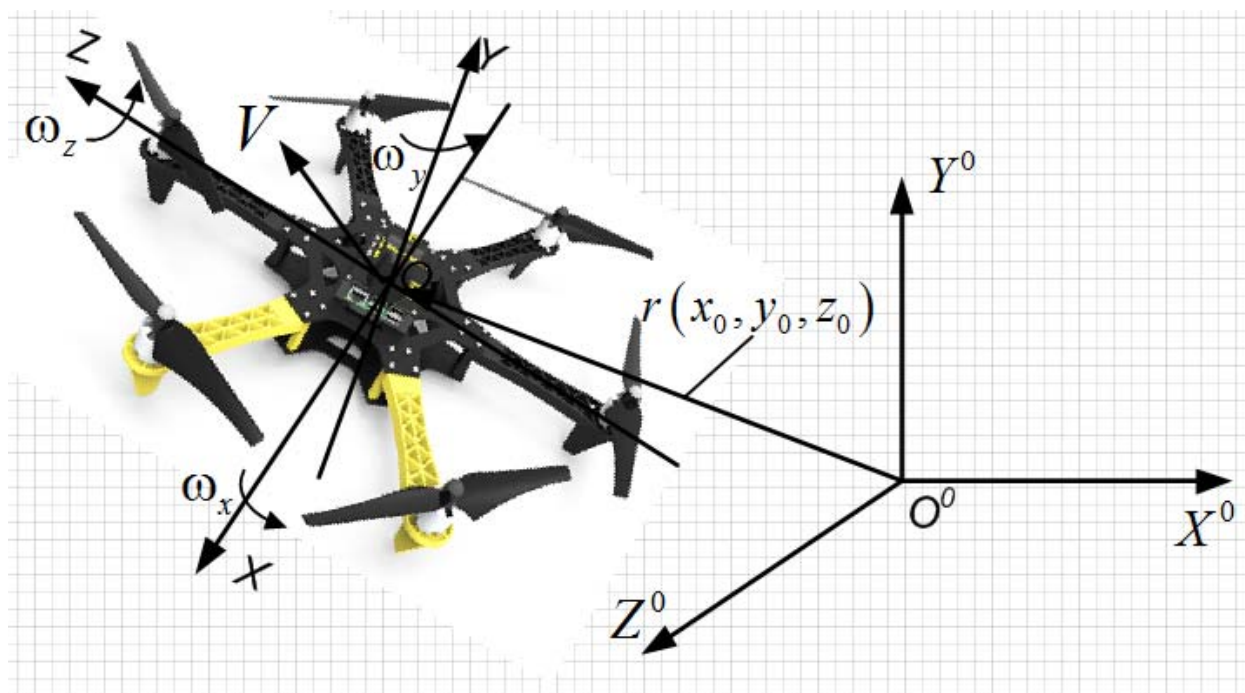


Рис.1. – Используемые в модели системы координат  $K^0$  и  $K$

Тогда положение и ориентация гексакоптера в земной системе координат определяются тремя координатами  $x_0$ ,  $y_0$ ,  $z_0$  и тремя углами Эйлера. Положительные направления всех поворотов соответствуют вращению против часовой стрелки, вдоль осей вращения в начало координат. Уравнения кинематики гексакоптера имеют вид (1):

$$\begin{bmatrix} \dot{x}_0 \\ \dot{y}_0 \\ \dot{z}_0 \\ \dot{\psi} \\ \dot{\vartheta} \\ \dot{\gamma} \end{bmatrix} = \begin{bmatrix} A(\psi, \vartheta, \gamma) & 0 \\ 0 & A_\omega(\psi, \vartheta, \gamma) \end{bmatrix} \begin{bmatrix} V_x \\ V_y \\ V_z \\ \omega_x \\ \omega_y \\ \omega_z \end{bmatrix}, \quad (1)$$

$$A(\psi, \vartheta, \omega) = \begin{bmatrix} \cos \psi \cos \vartheta \sin \psi \sin \gamma - \cos \psi \sin \vartheta \cos \gamma & \sin \psi \cos \gamma + \cos \psi \sin \vartheta \sin \gamma & \\ \sin \vartheta & \cos \vartheta \cos \gamma & -\cos \vartheta \sin \gamma \\ -\sin \psi \cos \vartheta \cos \psi \sin \gamma + \sin \psi \sin \vartheta \cos \gamma & \cos \psi \cos \gamma - \sin \psi \sin \vartheta \sin \gamma & \end{bmatrix}$$
$$A_\omega = \begin{bmatrix} 0 & \frac{\cos \gamma}{\cos \vartheta} & -\frac{\sin \gamma}{\cos \vartheta} \\ 0 & \sin \gamma & \cos \gamma \\ 1 & -\operatorname{tg} \vartheta \cos \gamma & \operatorname{tg} \vartheta \sin \gamma \end{bmatrix}.$$

Поступательное движение гексакоптера описывается следующими уравнениями(2):

$$\begin{aligned} m(\dot{V}_x + \omega_y V_z - \omega_z V_y) &= G_x, \\ m(\dot{V}_y + \omega_z V_x - \omega_x V_z) &= G_y + P_y, \\ m(\dot{V}_z + \omega_x V_y - \omega_y V_x) &= G_z, \end{aligned} \quad (2)$$

где  $P_y$  – проекция главного вектора тяги, создаваемой двигателями гексакоптера  $G_x, G_y, G_z$  – проекции силы тяжести на оси связанной системы координат;  $V_x, V_y, V_z$  – проекции на оси связанной системы вектора линейной скорости движения начала координат системы  $K$  относительно земной системы  $K^0$ ;  $\omega_x, \omega_y, \omega_z$  – проекции на оси связанной системы координат вектора угловой скорости движения начала координат системы  $K$  относительно земной системы  $K^0$ .

Уравнения динамики вращательного движения гексакоптера при постоянной массе и моментах инерции в проекциях на оси системы  $K$  имеют следующий вид (3):

$$\begin{aligned} J_x \dot{\omega}_x + (J_z - J_y) \omega_y \omega_z &= N_x, \\ J_y \dot{\omega}_y + (J_x - J_z) \omega_x \omega_z &= N_y, \\ J_z \dot{\omega}_z + (J_y - J_x) \omega_x \omega_y &= N_z \end{aligned} \quad (3)$$

где  $J_x, J_z, J_y$  - моменты инерции,  $N_x, N_y, N_z$  - проекции на оси связанной системы координат  $K$  вектора главного момента всех действующих на гексакоптер сил [11].

Построим модель исполнительных механизмов. К основным характеристикам винта относятся:

- координаты винтов в связанной с гексакоптером системе координат;
- зависимость тяги винта от числа оборотов.

Координаты винтов определяются величиной  $l_k$  и углом  $\varphi_k$ . Пусть зависимость тяги винта от числа оборотов определяется выражением:

$$\tau_i = k \omega_i^2, \quad i = \overline{1, 6},$$

где  $\tau_i$  - момент, развиваемый винтом;  $\omega_i$  - частота вращения винта;  $k$  - положительный коэффициент, определяемый расчетным или экспериментальным путем.

В этом случае управляющие силы и моменты будут иметь вид:

$$\bar{P} = \begin{bmatrix} 0 \\ k(\omega_1^2 + \omega_2^2 + \omega_3^2 + \omega_4^2 + \omega_5^2 + \omega_6^2) \\ 0 \end{bmatrix}, \quad (4)$$

$$\bar{N}_p = \begin{bmatrix} kl(\omega_1^2 + \cos \varphi_k \omega_2^2 + \cos \varphi_k \omega_6^2 - \omega_4^2 - \cos \varphi_k \omega_3^2 - \cos \varphi_k \omega_5^2) \\ b(-\omega_1^2 + \omega_2^2 - \omega_3^2 + \omega_4^2 - \omega_5^2 + \omega_6^2) \\ kl \sin \varphi_k (\omega_2^2 + \omega_3^2 - \omega_5^2 - \omega_6^2) \end{bmatrix}, \quad (5)$$

где  $b$  – положительный коэффициент, определяемый экспериментальным или расчетным путем.

### 3 Позиционно-траекторный регулятор

Рассмотрим задачу движения гексакоптера в заданную точку. Планировщик перемещений гексакоптера должен вырабатывать с дискретностью  $\Delta t$  требуемые координаты текущей целевой точки  $p^c(x_0^c, y_0^c, z_0^c)$ , скорость перемещения  $V_k$ , угол рысканья  $\Psi^0$ .

Синтезируем позиционно-траекторный алгоритм управления, обеспечивающий движение гексакоптера в соответствии с заданием, поступающим от планировщика.

Вначале по координатам гексакоптера в текущий момент времени  $p(x_0, y_0, z_0)$  и координатам текущей целевой точки  $p^c(x_0^c, y_0^c, z_0^c)$  вычисляем направляющий вектор [12] в соответствии с выражением (6).

$$p_n = [x_0^c - x_0; y_0^c - y_0; z_0^c - z_0]^T \quad (6)$$

Требуемые линейные скорости перемещения (7) составят:

$$V_x^0 = \frac{V_k(x_0^c - x_0)}{|p_n|}, \quad V_y^0 = \frac{V_k(y_0^c - y_0)}{|p_n|}, \quad V_z^0 = \frac{V_k(z_0^c - z_0)}{|p_n|}. \quad (7)$$

В силу того, что гексакоптер не имеет управляющих сил, действующих вдоль осей  $Ox$  и  $Oz$  связанной системы координат, соответствующие уставки по скоростям преобразуются в задающие воздействия по углам:

$$e_1 = \begin{bmatrix} \Psi - \Psi_0 \\ \vartheta + k_1(V_x - V_x^0) \\ \gamma + k_2(V_z - V_z^0) \end{bmatrix}. \quad (8)$$

$$e_2 = V_y - V_y^0. \quad (9)$$

В соответствии с методом позиционно-траекторного управления потребуем, чтобы ошибки (8), (9) удовлетворяли следующим уравнениям

$$\ddot{e}_1 + T_2 \dot{e}_1 + T_3 e_1 = 0, \quad (10)$$

$$\dot{e}_2 + T_1 e_2 = 0, \quad (11)$$

где  $T_1, T_2, T_3$  – матрицы коэффициентов регулятора.

Применяя метод позиционно-траекторного управления, получаем выражения для вычисления управляющих сил и моментов:

$$\begin{cases} F_{uy} = -mT_1 e_2 - mg \cos \vartheta \cos \gamma - m(\omega_z V_x - \omega_x V_z) \\ N_u = - \begin{bmatrix} -(J_z - J_y) \omega_y \omega_z \\ -(J_x - J_z) \omega_x \omega_z \\ -(J_y - J_x) \omega_y \omega_x \end{bmatrix} - (A_\omega + B_\omega)^{-1} \begin{bmatrix} J_x & 0 & 0 \\ 0 & J_y & 0 \\ 0 & 0 & J_z \end{bmatrix} (\dot{A}_\omega \omega + f_\omega + T_2 \dot{e}_1 + T_3 e_1). \end{cases} \quad (12)$$

где

$$B_\omega = \begin{bmatrix} 0 & 0 & 0 \\ 0 & -k_1 V_z & k_1 V_y \\ -k_2 V_y & k_2 V_x & 0 \end{bmatrix}.$$

$$\dot{A}_\omega = \begin{bmatrix} 0 & \frac{\dot{\gamma} \sin \gamma}{\cos \vartheta} + \frac{\dot{\vartheta} \cos \gamma \sin \vartheta}{\cos^2 \vartheta} & -\frac{\dot{\gamma} \cos \gamma}{\cos \vartheta} - \frac{\dot{\vartheta} \sin \gamma \sin \vartheta}{\cos^2 \vartheta} \\ 0 & \dot{\gamma} \cos \gamma & -\dot{\gamma} \sin \gamma \\ 0 & \dot{\gamma} \sin \gamma \tan \vartheta - \dot{\vartheta} \cos \gamma (1 + \tan^2 \vartheta) & \dot{\gamma} \cos \gamma \tan \vartheta + \dot{\vartheta} \sin \gamma (1 + \tan^2 \vartheta) \end{bmatrix}.$$

$$f_{\omega} = \begin{bmatrix} 0 \\ k_1 \left( \frac{\dot{G}_x}{m} - \omega_y \dot{V}_z - \omega_z T_1 (V_y - V_y^0) \right) \\ k_2 \left( \frac{\dot{G}_z}{m} + \omega_x T_1 (V_y - V_y^0) + \omega_y \dot{V}_x \right) \end{bmatrix}.$$

Управляющие силы и моменты (12) создаются винтами. Распределение управляющих сил и моментов между тягами винтов осуществляется на основе выражений (4) и (5), объединяя которые в единую систему, получим

$$N_u \begin{bmatrix} \omega_1^2 \\ \omega_2^2 \\ \omega_3^2 \\ \omega_4^2 \\ \omega_5^2 \\ \omega_6^2 \end{bmatrix} = \begin{bmatrix} P_y \\ N_x \\ N_y \\ N_z \end{bmatrix}, \quad (13)$$

$$N_u = \begin{bmatrix} k_v & k_v & k_v & k_v & k_v & k_v \\ 0 & k_v l_k \sin \varphi_k & k_v l_k \sin \varphi_k & 0 & -k_v l_k \sin \varphi_k & -k_v l_k \sin \varphi_k \\ -b_v & b_v & -b_v & b_v & -b_v & b_v \\ k_v l_k & k_v l_k \cos \varphi_k & -k_v l_k \cos \varphi_k & -k_v l_k & -k_v l_k \cos \varphi_k & k_v l_k \cos \varphi_k \end{bmatrix}.$$

Решение (14) линейной прямоугольной системы алгебраических уравнений (13) проводится на основе псевдоинверсной матрицы, которая обеспечивает минимум среднеквадратичной ошибки при решении [11]:



$$\begin{bmatrix} \omega_1^2 \\ \omega_2^2 \\ \omega_3^2 \\ \omega_4^2 \\ \omega_5^2 \\ \omega_6^2 \end{bmatrix} = N_u^+ \begin{bmatrix} P_y \\ N_x \\ N_y \\ N_z \end{bmatrix}, \quad (14)$$

где  $N_u^+$  – псевдоинверсная матрица в смысле определения [13].

#### 4 Обход препятствий с использованием динамических репеллеров

Рассмотрим применение метода динамических репеллеров для задачи обхода препятствия гексакоптером. Препятствия, встречающиеся на пути гексакоптера, представляются в виде репеллеров, формирование которых в двумерном случае продемонстрировано на рис.2. При этом препятствие слева должно формировать динамическую силу, выталкивающую гексакоптер вправо, а препятствие справа – влево. На рис.2  $y_{i-1}$  - координата препятствия слева,  $y_{i+1}$  - координата препятствия справа,  $F_r$  – вспомогательная переменная, используемая для формирования отталкивающих сил.

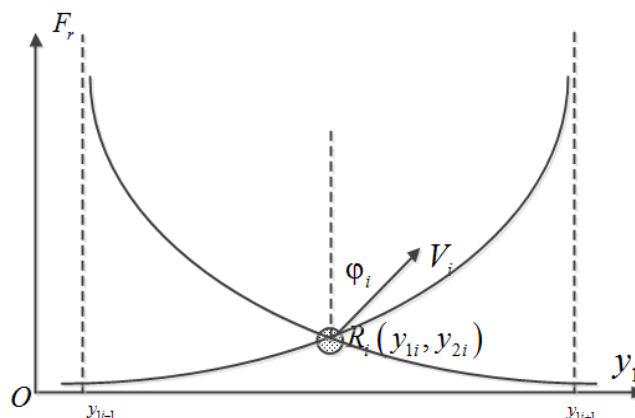


Рис.2. – Формирование репеллеров

Отталкивающие силы формируются с помощью динамических звеньев, на основе информации о расстоянии до препятствий. Пусть отталкивающая от репеллера сила является степенной функцией расстояния между соседними роботами вдоль оси  $Oy_1$ . Тогда данная идея реализуется следующим уравнением:

$$\dot{z} = \frac{1}{y_{li} - y_{li-1}} - \frac{1}{y_{li+1} - y_{li}} \quad (15).$$

Как следует из уравнения (15), переменная  $\dot{z}$  зависит от величин, обратных расстояниям от робота до препятствия.

В случае БПЛА, имеет место движение в трехмерной среде, из точки  $p_0(x^0, y^0, z^0)$ . Пусть гексакоптер движется к некоторой точке  $p_0(x_u^0, y_u^0, z_u^0)$  и при движении ему встретилось препятствие (рис. 3).

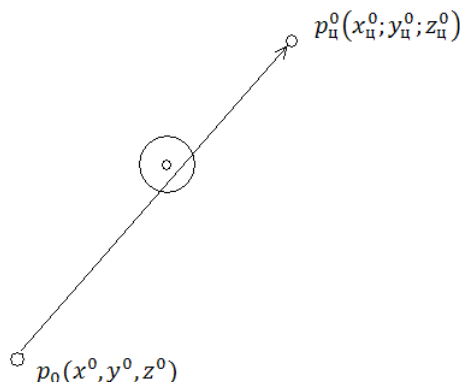


Рис. 3. – Встреча с препятствием на пути к цели

Данное препятствие становится репеллером и начинает формировать динамическую отталкивающую силу. Нужно рассчитать координаты промежуточной целевой точки  $p_u(x_u, y_u, z_u)$ , в которую данная сила отбросит гексакоптер. Основываясь на выражении (15) находим:

$$\dot{\xi}_1 = \frac{1}{x_0 - x_{pl}} - \frac{1}{x_{pr} - x_0}, \quad (16)$$

значения функции отталкивания, сначала по координате  $x$  где  $x_{pr}, x_{pl}$  координаты  $x$  препятствия слева и справа соответственно (рис. 4).

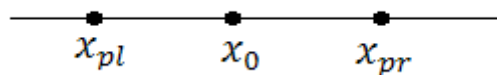


Рис.4. – Координаты гексакоптера и препятствий по оси  $x$

Затем по координатам  $y$  (17) и  $z$  (18) расчет идет аналогичным образом с ранее рассчитанным значением по координате  $x$  (16):

$$\dot{\xi}_2 = \frac{1}{y_0 - y_{pl}} - \frac{1}{y_{pr} - y_0}, \quad (17)$$

$$\dot{\xi}_3 = \frac{1}{z_0 - z_{pl}} - \frac{1}{z_{pr} - z_0}, \quad (18)$$

Рассчитываем координаты точки (19), которая станет результатом влияния функций отталкивания от препятствий:

$$[x_u, y_u, z_u] = [x_u^0, y_u^0, z_u^0] \left( 1 + \begin{bmatrix} \xi_1 & 0 & 0 \\ 0 & \xi_2 & 0 \\ 0 & 0 & \xi_3 \end{bmatrix} \right), \quad (19)$$

Результат действия динамических отталкивающих сил демонстрируется на рис. 5.

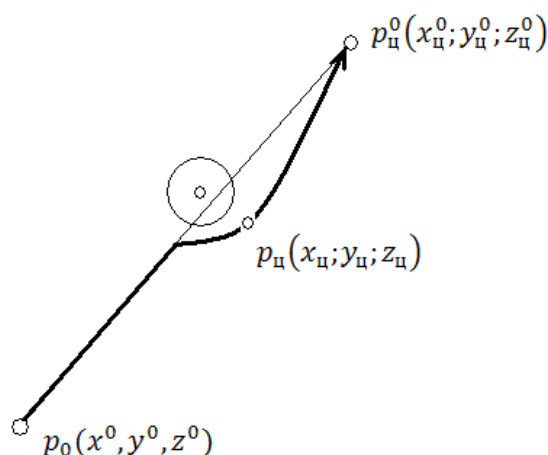


Рис.5.–Влияние динамических сил отталкивания на подвижный объект

### 5 Результаты моделирования

Для моделирования рассмотрено два случая: 1) одиночное препятствие, 2) несколько препятствий. Условия моделирования даны в таблице № 2.

Таблица 2.

Условия моделирования

Ограничение скорости, м/с	0,1
Допустимое расстояние $r$ , м	0,6
Параметры (одиночное препятствия)	Высота куба $h = 0,4$ , Положение $x=4, y=3, z=4$ ,
Параметры (несколько препятствий)	Высота куба $h = 0,4$ $x_1=2.8, y_1=3.8; z_1=2.8,$ $x_2=5, y_2=3; z_2=5,$ $x_3=6.5, z_3=6, y_3=2;$ $x_4=4, z_4=7, y_4=3;$ $x_5=7, z_5=7, y_5=3;$
Исходные координаты ПО	$x=0, y=3, z=2,$

Результаты моделирования для обоих случаев представлены на рис. 6 и рис. 7.

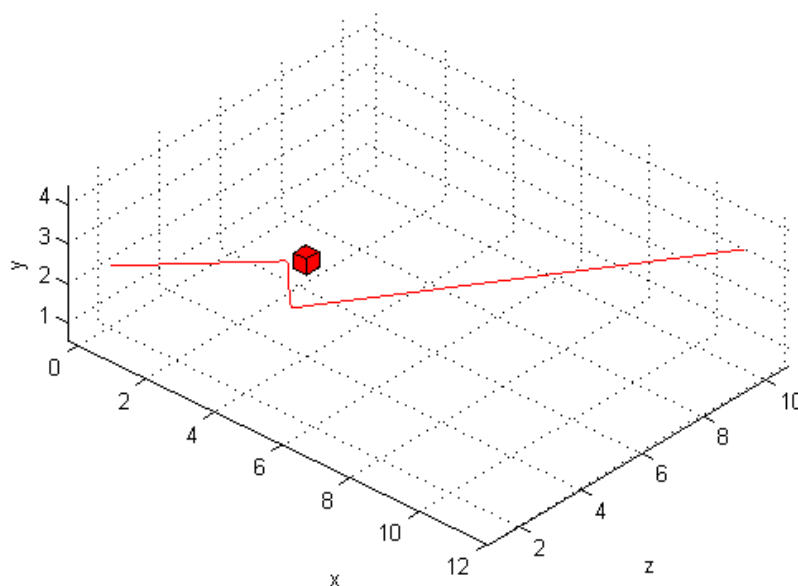


Рис.6. – Обход одиночного препятствия.

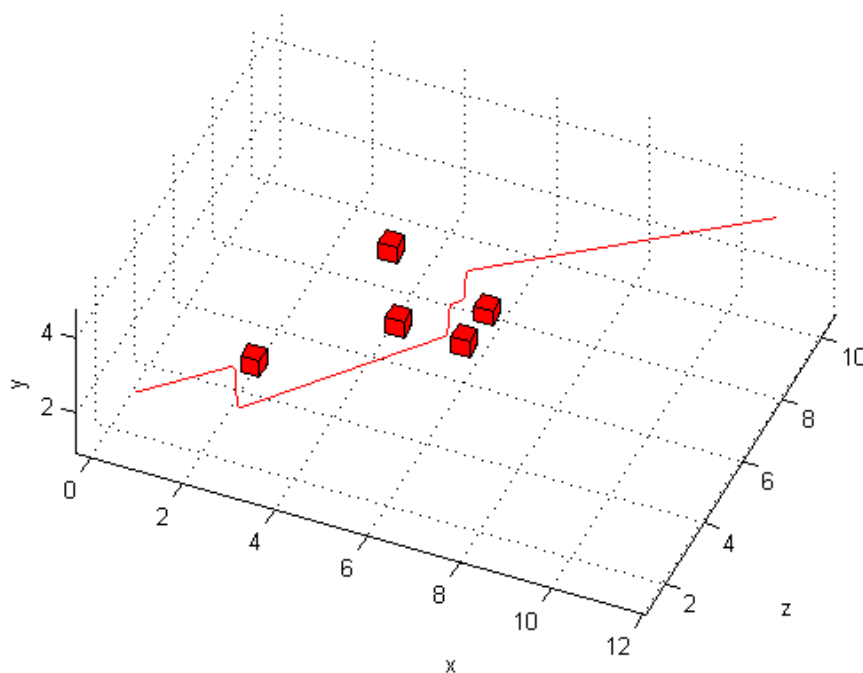


Рис. 7. – Обход группы препятствий

Результаты демонстрируют работоспособность предложенного метода управления движением. В обоих случаях гексакоптер меняет траекторию движения, огибая все препятствия.

### **Заключение**

В работе представлен метод управления движением гексакоптера в неформализованной трехмерной среде с препятствиями. Данный метод отличается от метода потенциальных полей тем, что в нем используются динамические отталкивающие силы, позволяющие обходить препятствия без картографирования. Необходимо отметить, что метод позволяет увеличить или уменьшить допустимое расстояние до препятствий в зависимости от условий задачи. Метод планирования траектории с использованием динамических репеллеров, может быть эффективен в задачах группового управления [3].

### **Благодарности**

Работа выполнена при поддержке проекта РФФИ № 16-08-00012 А.

### **Литература**

1. Кульченко А.Е. Структурно-алгоритмическая организация автопилота работа-вертолета// Инженерный вестник Дона, 2011, №1 URL: [ivdon.ru/ru/magazine/archive/n1y2011/330/](http://ivdon.ru/ru/magazine/archive/n1y2011/330/).
2. Гузик В.Ф., Косенко Е.Ю., Крухмалев В.А., Медведев М.Ю., Переверзев В.А., Пшихопов, В.Х. Пьявченко О.А., Сапрыкин Р.В., Соловьев В., Финаев В.И., Чернухин Ю.В., Шаповалов И. Интеллектуальное планирование траекторий подвижных объектов в средах с препятствиями. М.: Физматлит, 2014. 350 с.
3. Белоглазов Д.А., Гайдук А.Р., Косенко Е.Ю., Медведев М.Ю., Пшихопов В.Х., Соловьев В.В., Титов А.Е., Финаев В.И., Шаповалов И.О. Групповое управление подвижными объектами в неопределенных средах. М.: Физматлит, 2015. 304 с.

4. Горбунов А.А., Горбунова Е.Б. К вопросу об особенностях систем управления БПЛА с машущим крылом// Инженерный вестник Дона, 2013, №1 URL: ivdon.ru/ru/magazine/archive/n3y2013/1816/.

5. Madani T., Benallegue A. Backstepping control for a quadrotor helicopter // Proceedings of the IEEE/RSJ International Conference on Intelligent Robots and Systems, 2006. pp. 3255-3260.

6. Castillo P., Dzul A., Lozano R. Real-time stabilization and tracking of a four-rotor mini rotorcraft// IEEE Transactions on Control Systems Technology. – 2004. № 12 (4). pp. 510-516.

7. Gong X., Hou Z.-C., Zhao C.-J., Bai Y., Tian Y.-T. Adaptive Backstepping Mode Trajectory Tracking Control for a Quad-rotor // International Journal of Automation and Computing, 2012. № 9 (5). pp. 555-560.

8. Огольцов И.И., Рожнин Н.Б., Шеваль В.В. Математическая модель квадрокоптера аэромобильного лидара // Известия ТулГУ. Технические науки. 2012. № 1. С. 47-55.

9. Петраневский И.В., Борисов О.И., Громов В.С., Пыркин А.А. Управление квадрокоптером с компенсацией ветровых возмущений // Научно-технический вестник информационных технологий, механики и оптики. 2015. №6 С. 1045-1053.

10. Арзамасцев А.А., Образцов Д.В. Исследование основных характеристик полета гексакоптера // Вестник Тамбовского университета. Серия: Естественные и технические науки. 2016. №2 С.663-665.

11. Бюшгенс Г.С., Студнев Р.В. Динамика самолета. Пространственное движение. М.: Машиностроение, 1983. 320 с.

12. Бугров Я.С., Никольский С.М. Высшая математика. Том первый: элементы линейной алгебры и аналитической геометрии. М.: Дрофа, 2004. 288 с.



13. Гантмахер Ф.Р. Теория матриц. 5-е изд. М.: ФИЗМАТЛИТ, 2004. 560 с.

### References

1. Kulchenko A.E. Inženernyj vestnik Dona (Rus), 2011, №1 URL: [ivdon.ru/ru/magazine/archive/n1y2011/330/](http://ivdon.ru/ru/magazine/archive/n1y2011/330/).

2. Guzik V.F., Kosenko E.Ju., Kruhmalev V.A., Medvedev M.Ju., Pereverzev V.A., Pshihopov V.Kh., Pjavchenko O.A., Saprykin R.V., Solovjev V., Finaev V.I., Chernuhin Ju.V., Shapovalov I. Intellekтуальное планирование траекторий подвижных объектов в средах с препятствиями[Intellectual planning of vehicles trajectories in environments with obstacles]. М.: Fizmatlit, 2014. 350 p.

3. Beloglazov D.A., Gajduk A.R., Kosenko E.Ju., Medvedev M.Ju., Pshihopov V.Kh., Solovjev V.V., Titov A.E., Finaev V.I., Shapovalov I.O. Gruppovoe upravlenie podvizhnymi objektami v neopredelennyh sredah[Vehicles group control in uncertain environments]. М.: Fizmatlit, 2015. 304 p.

4. Gorbunov A.A., Gorbunova E.B. Inženernyj vestnik Dona (Rus), 2013, №1 URL: [ivdon.ru/ru/magazine/archive/n3y2013/1816/](http://ivdon.ru/ru/magazine/archive/n3y2013/1816/).

5. Madani T., Benallegue A. Proceedings of the IEEE/RSJ International Conference on Intelligent Robots and Systems, 2006. pp. 3255-3260.

6. Castillo P., Dzul A., Lozano R. IEEE Transactions on Control Systems Technology. 2004. № 12 (4). pp. 510-516.

7. Gong X., Hou Z.-C., Zhao C.-J., Bai Y., Tian Y.-T. International Journal of Automation and Computing. 2012. № 9 (5). pp. 555-560.

8. Ogolcov I.I., Rozhnin N.B., Sheval V.V. Izvestija TulGU. Tehnicheskie nauki. 2012. № 1. pp. 47-55.

9. Petranevskij I.V., Borisov O.I., Gromov V.S., Pyrkin A.A. Nauchno-tehnicheskij vestnik informacionnyh tehnologij, mehaniki i optiki. 2015. №6 pp.1045-1053.





10. Arzamascev A.A., Obrazcov D.V. Vestnik Tambovskogo universiteta. Serija: Estestvennye i tehnicheckie nauki. 2016. №2 pp.663-665.

11. Bjušgens G.S., Studnev R.V. Dinamika samoleta. Prostranstvennoe dvizhenie [Plane dynamics. Three-dimensional motion.]. M.: Mashinostroenie, 1983. 320 p.

12. Bugrov Ja.S., Nikolskij S.M. Vysshaja matematika. Tom pervyj: jelementy linejnoj algebry i analitičeskoj geometrii [The higher mathematics. Volume first: elements of the linear algebra and analytical geometry.]. M.: Drofa, 2004. 288 p.

13. Gantmaher F.R. Teorija matric [Matrixes theory]. 5-e izd. M.: FIZMATLIT, 2004. 560 p.